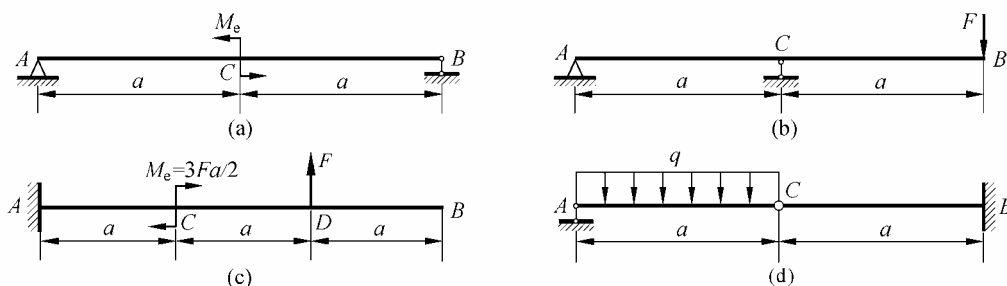


# 第七章 弯曲变形

题号	页码
7-2.....	1
7-4.....	2
7-6.....	3
7-8.....	8
7-9.....	10
7-12.....	11
7-14.....	11
7-15.....	13
7-16.....	14
7-18.....	16
7-20.....	17
7-22.....	18
7-24.....	19
7-25.....	19
7-26.....	20
7-27.....	22
7-28.....	24
7-29.....	25

(也可通过左侧题号书签直接查找题目与解)

**7-2** 图示各梁，弯曲刚度  $EI$  均为常数。试根据梁的弯矩图与约束条件画出挠曲轴的大致形状。



题 7-2 图

解：各梁的弯矩图及挠曲轴的大致形状示如图 7-2。

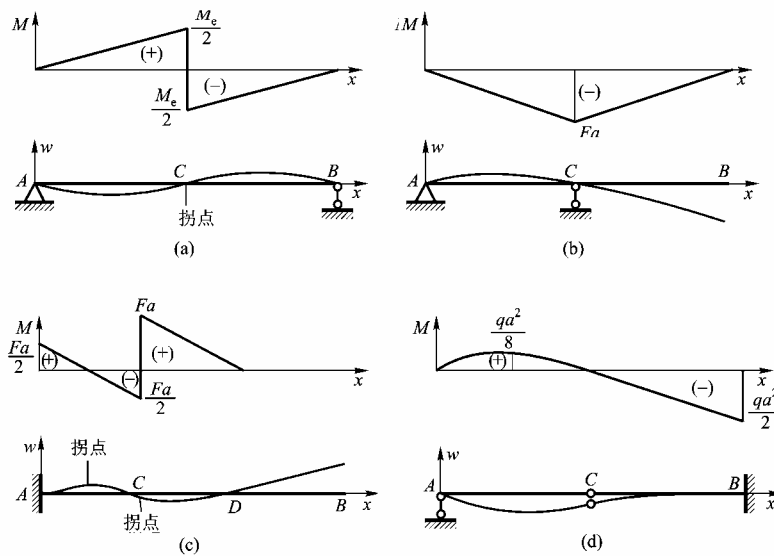
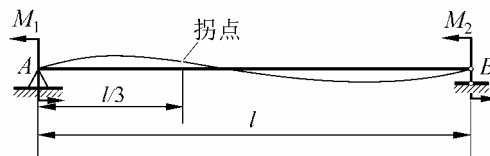


图 7-2

**7-4** 图示简支梁，左、右端各作用一个力偶矩分别为  $M_1$  与  $M_2$  的力偶。如欲使挠曲轴的拐点位于离左端  $l/3$  处，则力偶矩  $M_1$  与  $M_2$  应保持何种关系。



题 7-4 图

解：解法 1，常规解法

1. 建立弯矩方程

左端 A 的支反力为

$$F_{Ay} = \frac{M_1 + M_2}{l} \quad (\uparrow)$$

自左端向右取坐标  $x$ ，弯矩方程为

$$M(x) = \frac{M_1 + M_2}{l} x - M_1$$

2. 建立挠曲轴近似微分方程

$$EI \frac{d^2 w}{dx^2} = M(x) = \frac{M_1 + M_2}{l} x - M_1$$

依题意，在  $x = l/3$  处有拐点，即  $w'' = 0$ ，于是，

$$\left( \frac{M_1 + M_2}{l} \right) \frac{l}{3} - M_1 = 0$$

由此得

$$M_2 = 2M_1$$

解法 2，简便解法

分析本题的弯矩图: 左端为  $-M_1$ ，右端为  $+M_2$ ，将这两个端值点连线，即得到  $M$  图，

示如图 7-4。  $M(x) = 0$  的点为拐点，依题意，此点应在  $x = l/3$  处，由几何上的比例关系

$$M_2 : M_1 = \frac{2l}{3} : \frac{l}{3}$$

直接得到

$$M_2 = 2M_1$$

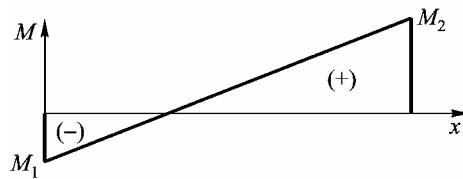
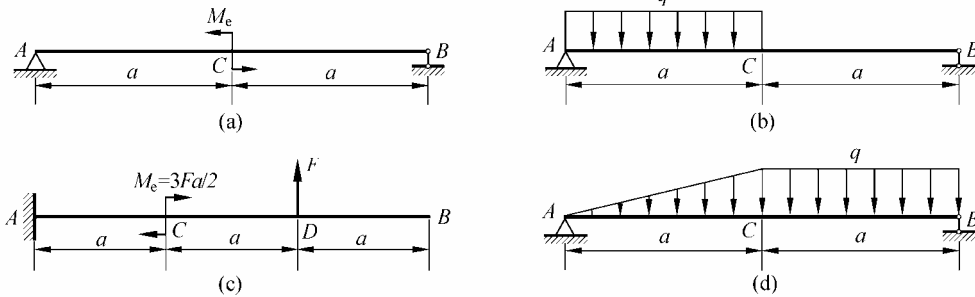


图 7-4

**7-6** 图示各梁，弯曲刚度  $EI$  均为常数。试用奇异函数法计算截面  $B$  的转角与截面  $C$  的挠度。



题 7-6 图

(a)解：1. 求支反力

由梁的平衡方程  $\sum M_B = 0$  和  $\sum F_y = 0$  可得

$$F_{Ay} = \frac{M_e}{2a} \quad (\uparrow), \quad F_{By} = \frac{M_e}{2a} \quad (\downarrow)$$

2. 建立挠曲轴近似微分方程并积分

自  $A$  向右取坐标  $x$ ，由题图可见，弯矩的通用方程为

$$M = \frac{M_e}{2a}x - M_e \langle x - a \rangle^0$$

挠曲轴的通用近似微分方程为

$$EI \frac{d^2 w}{dx^2} = \frac{M_e}{2a} x - M_e \langle x - a \rangle^0$$

将其相继积分两次，得

$$EI \frac{dw}{dx} = \frac{M_e}{4a} x^2 - M_e \langle x - a \rangle + C \quad (a)$$

$$EI w = \frac{M_e}{12a} x^3 - \frac{M_e}{2} \langle x - a \rangle^2 + Cx + D \quad (b)$$

### 3. 确定积分常数

该梁的位移边界条件为：

$$\text{在 } x = 0 \text{ 处, } w = 0 \quad (c)$$

$$\text{在 } x = 2a \text{ 处, } w = 0 \quad (d)$$

将条件(c)代入式(b)，得

$$D = 0$$

将条件(d)代入式(b)，得

$$C = -\frac{M_e a}{12}$$

### 4. 建立挠曲轴方程

将所得  $C$  与  $D$  值代入式(b)，得挠曲轴的通用方程为

$$w = \frac{1}{EI} \left[ \frac{M_e}{12a} x^3 - \frac{M_e}{2} \langle x - a \rangle^2 - \frac{M_e a}{12} x \right]$$

由此得  $AC$  段与  $CB$  段的挠曲轴方程分别为

$$w_1 = \frac{1}{EI} \left( \frac{M_e}{12a} x^3 - \frac{M_e a}{12} x \right)$$

和

$$w_2 = \frac{1}{EI} \left[ \frac{M_e}{12a} x^3 - \frac{M_e}{2} (x - a)^2 - \frac{M_e a}{12} x \right]$$

### 5. 计算 $w_C$ 和 $\theta_B$

将  $x = a$  代入上述  $w_1$  或  $w_2$  的表达式中，得截面  $C$  的挠度为

$$w_C = 0$$

将以上所得  $C$  值和  $x = 2a$  代入式(a)，得截面  $B$  的转角为

$$\theta_B = \frac{1}{EI} \left( \frac{4M_e a^2}{4a} - M_e a - \frac{M_e a}{12} \right) = -\frac{M_e a}{12EI} \quad (C)$$

(b)解：1. 求支反力

由梁的平衡方程  $\sum M_B = 0$  和  $\sum F_y = 0$  可得

$$F_{Ay} = \frac{3}{4}qa \quad (\uparrow), \quad F_{By} = \frac{1}{4}qa \quad (\uparrow)$$

2. 建立挠曲轴近似微分方程并积分

自  $A$  向右取坐标  $x$ ，由题图可见，弯矩的通用方程为

$$M = \frac{3qa}{4}x - \frac{q}{2}x^2 + \frac{q}{2}\langle x-a \rangle^2$$

挠曲轴的通用近似微分方程为

$$EI \frac{d^2w}{dx^2} = \frac{3qa}{4}x - \frac{q}{2}x^2 + \frac{q}{2}\langle x-a \rangle^2$$

将其相继积分两次，得

$$EI \frac{dw}{dx} = \frac{3qa}{8}x^2 - \frac{q}{6}x^3 + \frac{q}{6}\langle x-a \rangle^3 + C \quad (a)$$

$$EIw = \frac{qa}{8}x^3 - \frac{q}{24}x^4 + \frac{q}{24}\langle x-a \rangle^4 + Cx + D \quad (b)$$

3. 确定积分常数

该梁的位移边界条件为：

$$\text{在 } x=0 \text{ 处, } w=0 \quad (c)$$

$$\text{在 } x=2a \text{ 处, } w=0 \quad (d)$$

将条件(c)与(d)分别代入式(b)，得

$$D=0, \quad C = -\frac{3qa^3}{16}$$

4. 建立挠曲轴方程

将所得  $C$  与  $D$  值代入式(b)，得挠曲轴的通用方程为

$$w = \frac{1}{EI} \left[ \frac{qa}{8}x^3 - \frac{q}{24}x^4 + \frac{q}{24}\langle x-a \rangle^4 - \frac{3qa^3}{16}x \right]$$

由此得  $AC$  段与  $CB$  段的挠曲轴方程分别为

$$w_1 = \frac{1}{EI} \left( \frac{qa}{8}x^3 - \frac{q}{24}x^4 - \frac{3qa^3}{16}x \right)$$

和

$$w_2 = \frac{1}{EI} \left[ \frac{qa}{8}x^3 - \frac{q}{24}x^4 + \frac{q}{24}(x-a)^4 - \frac{3qa^3}{16}x \right]$$

5. 计算  $w_C$  和  $\theta_B$

将  $x = a$  代入上述  $w_1$  或  $w_2$  的表达式中, 得截面  $C$  的挠度为

$$w_C = -\frac{5qa^4}{48EI} \quad (\downarrow)$$

将以上所得  $C$  值和  $x = 2a$  代入式 (a), 得截面  $B$  的转角为

$$\theta_B = \frac{1}{EI} \left[ \frac{3qa}{8}(2a)^2 - \frac{q}{6}(2a)^3 + \frac{q}{6}(2a-a)^3 - \frac{3qa^3}{16} \right] = \frac{7qa^3}{48EI} \quad (\curvearrowright)$$

(c) 解: 1. 求支反力

由梁的平衡方程  $\sum F_y = 0$  和  $\sum M_A = 0$  可得

$$F_{Ay} = F \quad (\downarrow), \quad M_A = \frac{1}{2}Fa \quad (\curvearrowright)$$

2. 建立挠曲轴近似微分方程并积分

自  $A$  向右取坐标  $x$ , 由题图可见, 弯矩的通用方程为

$$M = \frac{Fa}{2} - Fx + \frac{3Fa}{2} \langle x-a \rangle^0 + F \langle x-2a \rangle$$

挠曲轴的通用近似微分方程为

$$EI \frac{d^2 w}{dx^2} = \frac{Fa}{2} - Fx + \frac{3Fa}{2} \langle x-a \rangle^0 + F \langle x-2a \rangle$$

将其相继积分两次, 得

$$EI \frac{dw}{dx} = \frac{Fa}{2} x - \frac{F}{2} x^2 + \frac{3Fa}{2} \langle x-a \rangle + \frac{F}{2} \langle x-2a \rangle^2 + C \quad (a)$$

$$EIw = \frac{Fa}{4} x^2 - \frac{F}{6} x^3 + \frac{3Fa}{4} \langle x-a \rangle^2 + \frac{F}{6} \langle x-2a \rangle^3 + Cx + D \quad (b)$$

3. 确定积分常数

该梁的位移边界条件为:

$$\text{在 } x=0 \text{ 处, } w=0 \quad (c)$$

$$\text{在 } x=0 \text{ 处, } \theta = \frac{dw}{dx} = 0 \quad (d)$$

将条件(c)与(d)分别代入式(b)和(a), 得

$$D=0, \quad C=0$$

4. 建立挠曲轴方程

将所得  $C$  与  $D$  值代入式(b), 得挠曲轴的通用方程为

$$w = \frac{1}{EI} \left[ \frac{Fa}{4} x^2 - \frac{F}{6} x^3 + \frac{3Fa}{4} \langle x-a \rangle^2 + \frac{F}{6} \langle x-2a \rangle^3 \right]$$

由此得  $AC$  段、 $CD$  段和  $DB$  段的挠曲轴方程依次为

$$w_1 = \frac{1}{EI} \left( \frac{Fa}{4} x^2 - \frac{F}{6} x^3 \right)$$

$$w_2 = \frac{1}{EI} \left[ \frac{Fa}{4} x^2 - \frac{F}{6} x^3 + \frac{3Fa}{4} (x-a)^2 \right]$$

$$w_3 = \frac{1}{EI} \left[ \frac{Fa}{4} x^2 - \frac{F}{6} x^3 + \frac{3Fa}{4} (x-a)^2 + \frac{F}{6} (x-2a)^3 \right]$$

5. 计算  $w_C$  和  $\theta_B$

将  $x = a$  代入上述  $w_1$  或  $w_2$  的表达式中, 得截面  $C$  的挠度为

$$w_C = \frac{Fa^3}{12EI} \quad (\uparrow)$$

将以上所得  $C$  值和  $x = 3a$  代入式(a), 得截面  $B$  的转角为

$$\theta_B = \frac{1}{EI} \left[ \frac{Fa}{2} (3a) - \frac{F}{2} (3a)^2 + \frac{3Fa}{2} (2a) + \frac{F}{2} (a)^2 \right] = \frac{Fa^2}{2EI} \quad (\curvearrowright)$$

(d)解: 1. 求支反力

由梁的平衡方程  $\sum M_B = 0$  和  $\sum F_y = 0$  可得

$$F_{Ay} = \frac{7}{12} qa \quad (\uparrow), \quad F_{By} = \frac{11}{12} qa \quad (\uparrow)$$

2. 建立挠曲轴近似微分方程并积分

自  $A$  向右取坐标  $x$ , 由题图可见, 弯矩的通用方程为

$$M = \frac{7qa}{12} x - \frac{q}{6a} x^3 + \frac{q}{6a} \langle x-a \rangle^3$$

挠曲轴的通用近似微分方程为

$$EI \frac{d^2 w}{dx^2} = \frac{7qa}{12} x - \frac{q}{6a} x^3 + \frac{q}{6a} \langle x-a \rangle^3$$

将其相继积分两次, 得

$$EI \frac{dw}{dx} = \frac{7qa}{24} x^2 - \frac{q}{24a} x^4 + \frac{q}{24a} \langle x-a \rangle^4 + C \quad (a)$$

$$EI w = \frac{7qa}{72} x^3 - \frac{q}{120a} x^5 + \frac{q}{120a} \langle x-a \rangle^5 + Cx + D \quad (b)$$

3. 确定积分常数

该梁的位移边界条件为:

$$\text{在 } x = 0 \text{ 处, } w = 0 \quad (c)$$

$$\text{在 } x = 2a \text{ 处, } w = 0 \quad (d)$$

将条件(c)代入式(b), 得

$$D = 0$$

将条件(d)代入式(b), 得

$$C = -\frac{187}{720}qa^3$$

#### 4. 建立挠曲轴方程

将所得  $C$  与  $D$  值代入式(b), 得挠曲轴的通用方程为

$$w = \frac{1}{EI} \left[ \frac{7qa}{72}x^3 - \frac{q}{120a}x^5 + \frac{q}{120a}(x-a)^5 - \frac{187qa^3}{720}x \right]$$

由此得  $AC$  段与  $CB$  段的挠曲轴方程分别为

$$w_1 = \frac{1}{EI} \left( \frac{7qa}{72}x^3 - \frac{q}{120a}x^5 - \frac{187qa^3}{720}x \right)$$

和

$$w_2 = \frac{1}{EI} \left[ \frac{7qa}{72}x^3 - \frac{q}{120a}x^5 + \frac{q}{120a}(x-a)^5 - \frac{187qa^3}{720}x \right]$$

#### 5. 计算 $w_C$ 和 $\theta_B$

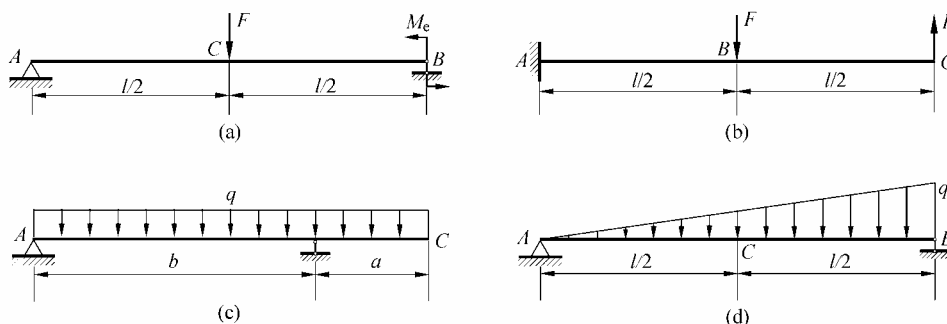
将  $x = a$  代入上述  $w_1$  或  $w_2$  的表达式中, 得截面  $C$  的挠度为

$$w_C = -\frac{41qa^4}{240EI} \quad (\downarrow)$$

将以上所得  $C$  值和  $x = 2a$  代入式(a), 得截面  $B$  的转角为

$$\theta_B = \frac{qa^3}{EI} \left[ \frac{7 \times 4}{24} - \frac{16}{24} + \frac{1}{24} - \frac{187}{720} \right] = \frac{203qa^3}{720EI} \quad (\curvearrowright)$$

**7-8** 图示各梁, 弯曲刚度  $EI$  均为常数。试用叠加法计算截面  $B$  的转角与截面  $C$  的挠度。



题 7-8 图

(a)解: 由  $F$  产生的位移为

$$\theta_{B1} = \frac{Fl^2}{16EI} \quad (\curvearrowright), \quad w_{C1} = \frac{Fl^3}{48EI} \quad (\downarrow)$$



由  $M_e$  产生的位移为

$$\theta_{B2} = \frac{M_e l}{3EI} \quad (\curvearrowright), \quad w_{C2} = \frac{M_e l^2}{16EI} \quad (\downarrow)$$

应用叠加法，得截面  $B$  的转角及截面  $C$  的挠度分别为

$$\theta_B = \theta_{B1} + \theta_{B2} = \frac{Fl^2}{16EI} + \frac{M_e l}{3EI} \quad (\curvearrowright)$$

$$w_C = w_{C1} + w_{C2} = \frac{Fl^3}{48EI} + \frac{M_e l^2}{16EI} \quad (\downarrow)$$

(b)解：  $AB$  梁段及  $BC$  梁段的受力情况示如图 7-8b(1)和(2)。

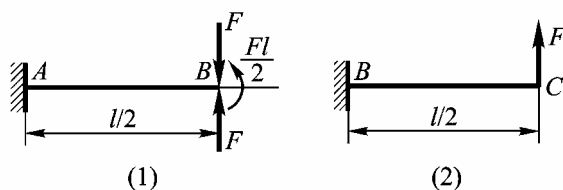


图 7-8b

由图(1)可得截面  $B$  的转角为

$$\theta_B = \frac{1}{EI} \left( \frac{Fl}{2} \right) \left( \frac{l}{2} \right) = \frac{Fl^2}{4EI} \quad (\curvearrowright)$$

由图(1)和图(2)，应用叠加法得截面  $C$  的挠度为

$$w_C = w_B + \theta_B \left( \frac{l}{2} \right) + w_{C3} = \frac{Fl^3}{16EI} + \frac{Fl^3}{8EI} + \frac{Fl^3}{24EI} = \frac{11Fl^3}{48EI} \quad (\uparrow)$$

(c)解：  $AB$  梁段及  $BC$  梁段的受力情况示如图 7-8c(1)和(2)。

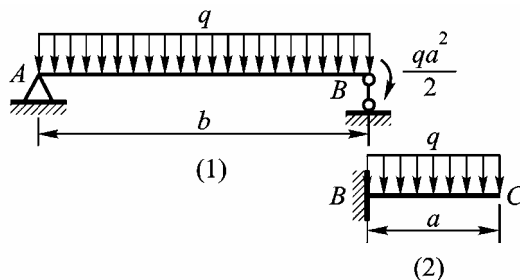


图 7-8c

由图(1)可得截面  $B$  的转角为

$$\theta_B = \frac{qb^3}{24EI} - \frac{b}{3EI} \left( \frac{qa^2}{2} \right) = \frac{qb}{24EI} (b^2 - 4a^2)$$

由图(1)和图(2)，应用叠加法得截面  $C$  的挠度为

$$w_C = \theta_B \cdot a + w_{C2} = \frac{qab}{24EI} (b^2 - 4a^2) - \frac{qa^4}{8EI} = \frac{qa}{24EI} (b^3 - 4a^2b - 3a^3)$$

(d)解：求  $\theta_B$  时可以书中附录 E 的 7 号梁为基础，以  $x$  代替  $a$ ，以  $q(x)dx$  代替  $F$ ，写出  $B$  端截面的微转角

$$d\theta_B = \frac{x(l^2 - x^2)q(x)}{6EI} dx \quad (a)$$

式中， $q(x)$  为截面  $x$  处的载荷集度，其值为

$$q(x) = \frac{q_0}{l} x \quad (b)$$

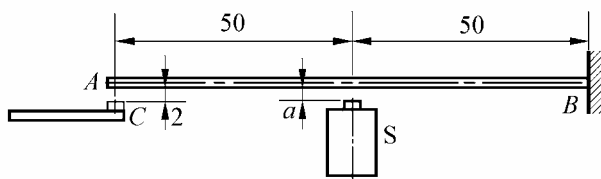
将式(b)代入式(a)后两边积分，即得截面  $B$  的转角为

$$\theta_B = \int_0^l \frac{q_0 x^2 (l^2 - x^2)}{6l^2 EI} dx = \frac{q_0 l^3}{45EI} \quad (c)$$

求  $w_C$  可以教材附录 E 中 8 号梁为基础，所求截面  $C$  的挠度为表中所列  $\delta$  的一半，即

$$w_C = \frac{1}{2}\delta = -\frac{5q_0 l^4}{768EI} \quad (d)$$

**7-9** 图示电磁开关，由铜片  $AB$  与电磁铁  $S$  组成。为使端点  $A$  与触点  $C$  接触，试求电磁铁  $S$  所需吸力的最小值  $F$  以及间距  $a$  的尺寸。铜片横截面的惯性矩  $I_z = 0.18 \times 10^{-12} \text{m}^4$ ，弹性模量  $E = 101 \text{GPa}$ 。



题 7-9 图

解：铜片  $AB$  的受力及变形情况示如图 7-9。

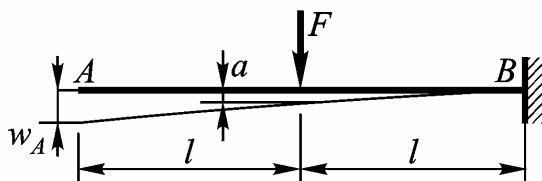


图 7-9

由图可得

$$w_A = \frac{Fl^3}{3EI} + \left(\frac{Fl^2}{2EI}\right)l = \frac{5Fl^3}{6EI}$$

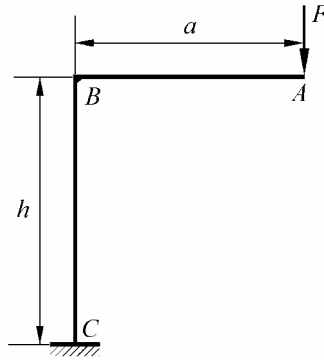
由此可求得电磁铁的最小吸力，其值为

$$F = \frac{6EIw_A}{5l^3} = \frac{6 \times 101 \times 10^9 \times 0.18 \times 10^{-12} \times 0.002}{5 \times 0.050^3} \text{N} = 0.349 \text{N}$$

间距的尺寸为

$$a = \frac{Fl^3}{3EI} = \frac{0.349 \times 0.050^3 \text{ m}}{3 \times 101 \times 10^9 \times 0.18 \times 10^{-12}} = 8.0 \times 10^{-4} \text{ m} = 0.80 \text{ mm}$$

**7-12** 试计算图示刚架截面  $A$  的水平和铅垂位移。设弯曲刚度  $EI$  为常数。



题 7-12 图

解：用叠加法来求  $\Delta_x$  和  $\Delta_y$ 。

杆段  $BC$  在力矩  $Fa$  作用下产生水平位移  $\Delta_B$  和转角  $\theta_B$ ，其值分别为

$$\Delta_B = \frac{(Fa)h^2}{2EI} = \frac{Fah^2}{2EI} \quad (\rightarrow)$$

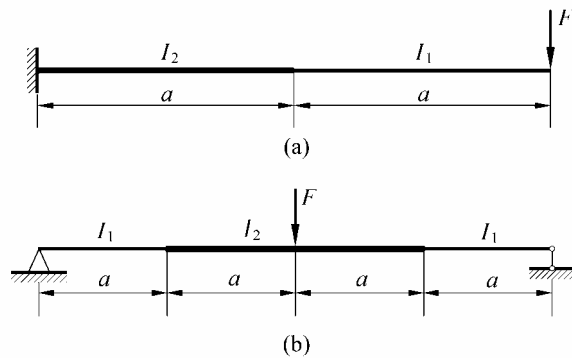
$$\theta_B = \frac{(Fa)h}{EI} = \frac{Fah}{EI} \quad (\curvearrowright)$$

由此不难求得截面  $A$  的两个位移分量，其值分别为

$$\Delta_x = \Delta_B = \frac{Fah^2}{2EI} \quad (\rightarrow)$$

$$\Delta_y = \frac{Fa^3}{3EI} + \theta_B a = \frac{Fa^2}{3EI}(a + 3h) \quad (\downarrow)$$

**7-14** 试用叠加法计算图示各阶梯形梁的最大挠度。设惯性矩  $I_2 = 2I_1$ 。



题 7-14 图

(a)解：容易判断，最大挠度发生在截面 C 处（见下图）。  
如图 7-14a(1)所示，梁段 AB 在  $F$  和  $Fa$  作用下，有

$$\theta_B = \frac{Fa^2}{2EI_2} + \frac{Fa \cdot a}{EI_2} = \frac{3Fa^2}{2EI_2} = \frac{3Fa^2}{4EI_1} \quad (\curvearrowright)$$

和

$$\Delta_B = \frac{Fa^3}{3EI_2} + \frac{Fa \cdot a^2}{2EI_2} = \frac{5Fa^3}{6EI_2} = \frac{5Fa^3}{12EI_1} \quad (\downarrow)$$

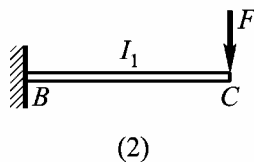
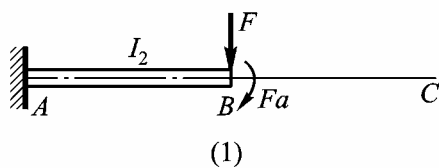


图 7-14a

由图(2)可得

$$\Delta'_C = \frac{Fa^3}{3EI_1} \quad (\downarrow)$$

最后，应用叠加法求得最大挠度为

$$\begin{aligned} \Delta = \Delta_C &= \Delta_B + \theta_B \cdot a + \Delta'_C \\ &= \frac{5Fa^3}{12EI_1} + \frac{3Fa^2}{4EI_1} \cdot a + \frac{Fa^3}{3EI_1} = \frac{3Fa^3}{2EI_1} \quad (\downarrow) \end{aligned} \quad (\text{a})$$

(b)解：不难判断，最大挠度发生在中间截面 G 处。

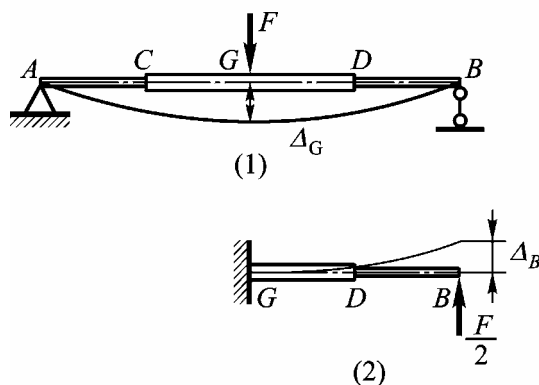
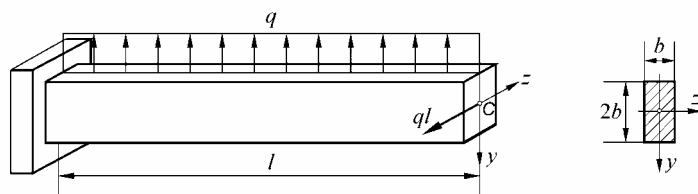


图 7-14b

如图 7-14b(1)所示，由于左右对称，截面  $G$  的转角必然为零。由此可将图(1)求  $\Delta_G$  的问题转化为图(2)所示悬臂梁求挠度  $\Delta_B$  的问题，并可利用本题(a)中所得的结果，只需将式(a)中的  $F$  更换为  $F/2$  即可。最后求得的最大挠度为

$$\Delta = \Delta_G = \Delta_B = \frac{3a^3}{2EI_1} \left( \frac{F}{2} \right) = \frac{3Fa^3}{4EI_1} \quad (\downarrow) \quad (\text{b})$$

**7-15** 图示悬臂梁，承受均布载荷  $q$  与集中载荷  $ql$  作用。试计算梁端的挠度及其方向，材料的弹性模量为  $E$ 。



题 7-15 图

提示：分解成为两个互垂对称弯曲问题，分别计算端点挠度，并求其矢量和。

解：1. 求  $\Delta_y$

$$\Delta_y = \frac{ql^4}{8EI_z} = \frac{12ql^4}{8Eb(2b)^3} = \frac{3ql^4}{16Eb^4} \quad (\uparrow)$$

2. 求  $\Delta_z$

$$\Delta_z = \frac{(ql)l^3}{3EI_y} = \frac{12ql^4}{3E(2b)b^3} = \frac{2ql^4}{Eb^4} \quad (\leftarrow)$$

3. 求总挠度  $\Delta$

梁端的总挠度为

$$\Delta = \sqrt{\Delta_y^2 + \Delta_z^2} = \frac{ql^4}{Eb^4} \sqrt{\left(\frac{3}{16}\right)^2 + 2^2} = \frac{2.01ql^4}{Eb^4}$$

其方向示如图 7-15，由图可知，

$$\tan\theta = \frac{\Delta_y}{\Delta_z} = \frac{3}{32}$$

$$\theta = 5.36^\circ$$

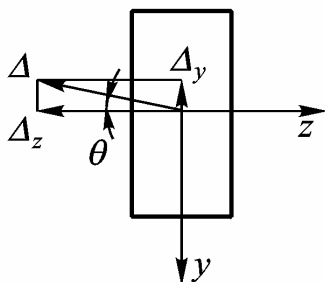
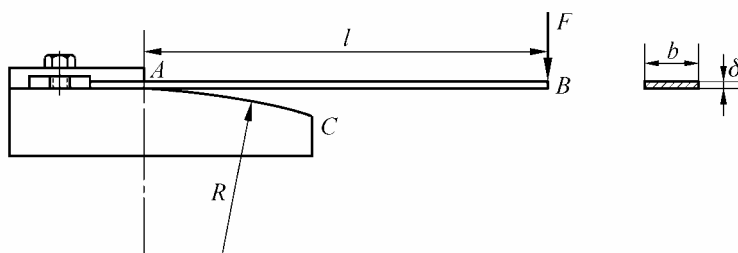


图 7-15

**7-16** 如图所示，梁左端  $A$  固定在具有圆弧形表面的刚性平台上，自由端  $B$  承受载荷  $F$  作用。试计算截面  $B$  的挠度及梁内的最大弯曲正应力。平台圆弧表面  $AC$  的曲率半径  $R$ 、梁的尺寸  $l, b$  与  $\delta$  以及材料的弹性模量  $E$  均为已知。



题 7-16 图

解：1. 计算截面  $B$  的挠度

设在  $F$  作用下梁段  $AD$  与圆弧形表面贴合，并设  $DB$  段的长度为  $x$ ，由图 7-16a 可得

$$\frac{1}{\rho} = \frac{1}{R} = \frac{Fx}{EI}$$

由此得

$$x = \frac{EI}{FR} \quad (a)$$

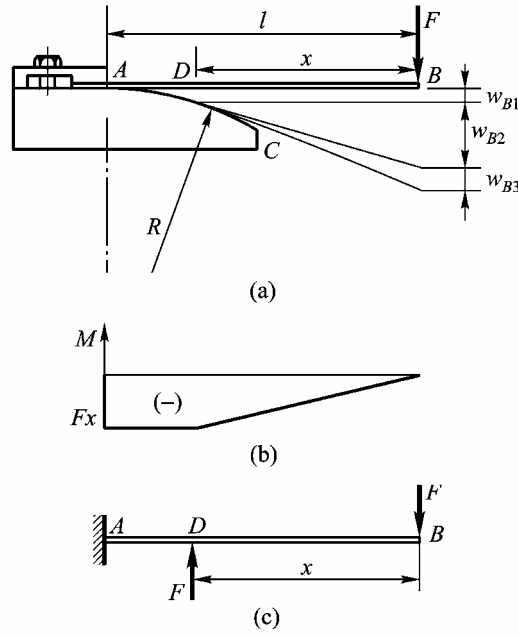


图 7-16

由于贴合段梁的曲率为常值，可推知此段的弯矩也是常值。据此可画出梁的弯矩图，示如图 b。根据梁的约束条件及图 b，可进一步推知其受力情况，示如图 c。

由图 c 可得截面 B 的挠度为

$$w_B = -\frac{Fx(l-x)^2}{2EI} - \frac{Fx(l-x)}{EI}x - \frac{Fx^3}{3EI} \quad (b)$$

再将式(a)代入式(b)，化简后得到

$$w_B = -\frac{l^2}{2R} + \frac{(EI)^2}{6F^2R^3} \quad (\downarrow) \quad (c)$$

作为一种特殊情况，当  $F$  较小，以致使

$$\frac{Fl}{EI} \leq \frac{1}{R}$$

此时，又回到一般悬臂梁的结果，将  $x = l$  代入式(b)，得到

$$w_B = -\frac{Fl^3}{3EI} \quad (\downarrow) \quad (c)'$$

应当指出，以上结果均由挠曲轴的近似微分方程得到，因而只有当  $R \gg \delta$  时才是正确的。

## 2. 计算梁内的最大弯曲正应力

由于梁内的最大弯矩（绝对值）必须满足

$$\frac{M_{\max}}{EI} \leq \frac{1}{R}$$

即

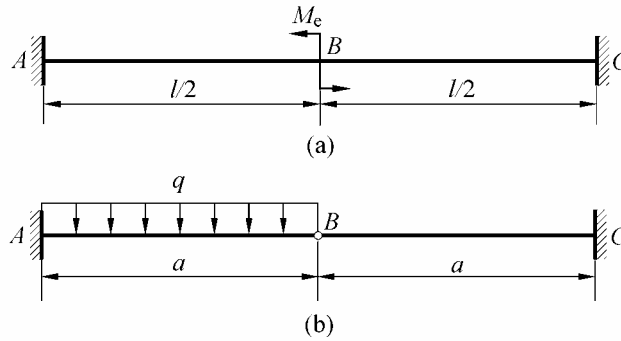
$$M_{\max} \leq \frac{EI}{R} \quad (d)$$

由此得到梁内的最大弯曲正应力为

$$\sigma_{\max} = \frac{M_{\max}}{I} \frac{\delta}{2} \leq \frac{E\delta}{2R} \quad (\text{e})$$

当式(d)取等号时，式(e)也取等号。

## 7-18 试求图示各梁的支反力。设弯曲刚度 $EI$ 为常数。



题 7-18 图

(a)解：此为三度静不定问题，但有反对称条件可以利用。

此题以解除多余内约束较为方便。可在  $M_e$  作用的反对称面  $B$  处假想将梁切开， $M_e$  左、

右面各分一半，另有反对称内力  $F_{SB}$  存在，示如图 7-18a。

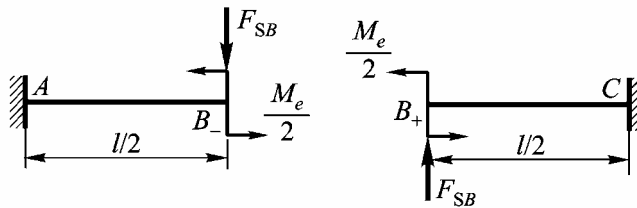


图 7-18a

变形协调条件为

$$w_{B_-} = w_{B_+} = 0 \quad (\text{a})$$

截面  $B$  的挠度之所以为零，这是由反对称条件决定的。

取左半梁段  $AB$  写物理关系

$$w_{B_-} = \frac{1}{2EI} \left( \frac{M_e}{2} \right) \left( \frac{l}{2} \right)^2 - \frac{F_{SB}}{3EI} \left( \frac{l}{2} \right)^3 \quad (\text{b})$$

将式(b)代入式(a)，得

$$F_{SB} = \frac{3M_e}{2l} \quad (\text{c})$$

方向如图所示。

据此可求得支反力为



$$F_{Ay} = \frac{3M_e}{2l} \quad (\uparrow), \quad F_{Cy} = \frac{3M_e}{2l} \quad (\downarrow)$$

$$M_A = \frac{M_e}{4} \quad (\ominus), \quad M_C = \frac{M_e}{4} \quad (\ominus)$$

(b)解：此为两度静不定问题。可在梁间铰  $B$  处解除多余约束，得该静不定结构的相当系统如图 7-18b 所示。

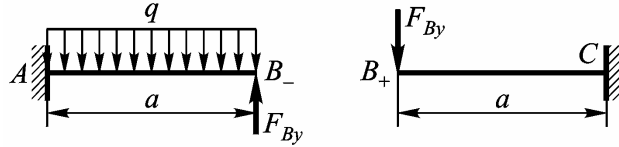


图 7-18b

变形协调条件为

$$w_{B-} = w_{B+} \quad (d)$$

物理关系为

$$w_{B-} = \frac{qa^4}{8EI} - \frac{F_{By}a^3}{3EI}, \quad w_{B+} = \frac{F_{By}a^3}{3EI} \quad (e)$$

将式(e)代入式(d)，得

$$F_{By} = \frac{3qa}{16} \quad (f)$$

由相当系统的平衡条件最后求得支反力为

$$F_{Ay} = \frac{13qa}{16} \quad (\uparrow), \quad F_{Cy} = \frac{3qa}{16} \quad (\uparrow)$$

$$M_A = \frac{5qa^2}{16} \quad (\ominus), \quad M_C = \frac{3qa^2}{16} \quad (\ominus)$$

**7-20** 题 7-19 所示传动轴，由于加工误差，轴承  $C$  处的位置偏离轴线  $\delta = 0.25\text{mm}$ ，

试计算安装后轴内的最大弯曲正应力。已知轴的弹性模量  $E = 200\text{GPa}$ 。

解：此为一度静不定问题。

该静不定梁（即传动轴）的相当系统示如图 7-20。变形协调条件为

$$w_C = \delta \quad (a)$$

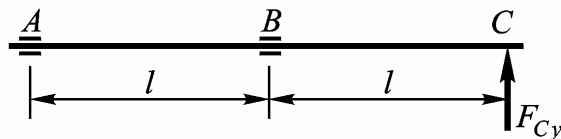


图 7-20

在多余支反力  $F_{Cy}$  作用下，图中截面  $C$  的挠度（物理条件）为

$$w_C = \frac{2F_{Cy}l^3}{3EI} \quad (b)$$

将式(b)代入式(a)，得

$$\frac{2F_{Cy}l^3}{3EI} = \delta$$

由此可得

$$F_{Cy} = \frac{3EI\delta}{2l^3} \quad (c)$$

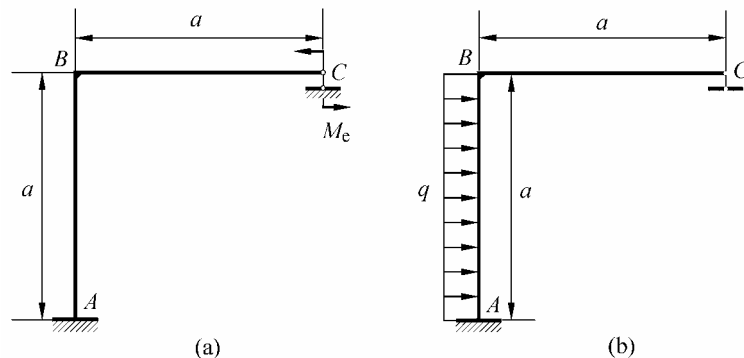
由图可知，梁内的最大弯矩发生在截面  $B$ ，其值为

$$M_{\max} = F_{Cy}l = \frac{3EI\delta}{2l^2}$$

由此可得梁内的最大弯曲正应力为

$$\begin{aligned} \sigma_{\max} &= \frac{M_{\max}}{W_z} = \frac{3E\delta}{2l^2} \left( \frac{I}{W_z} \right) = \frac{3E\delta d}{4l^2} \\ &= \frac{3 \times 200 \times 10^9 \times 0.00025 \times 0.050 \text{ N}}{4 \times 0.200^2 \text{ m}^2} = 4.69 \times 10^7 \text{ Pa} = 46.9 \text{ MPa} \end{aligned}$$

**7-22** 图示刚架，弯曲刚度  $EI$  为常数，试画刚架的弯矩图。



题 7-22 图

解：图 a 与 b 所示结构均为一度静不定问题。解除  $C$  端的多余约束，代之以多余约束反力  $F_{Cy}$ ，由变形协调条件

$$\Delta_{Cy} = 0$$

解得此二刚架的多余约束反力依次为

$$F_{Cy} = \frac{9M_e}{8a} \quad (\downarrow), \quad F_{Cy} = \frac{1}{8}qa \quad (\uparrow)$$

此二刚架的弯矩图分别如图 7-22a 和 b 所示。

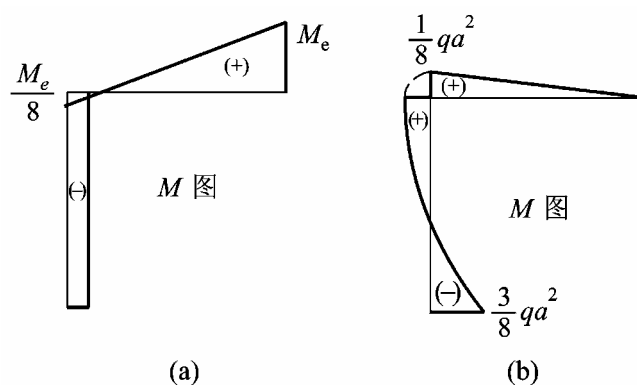
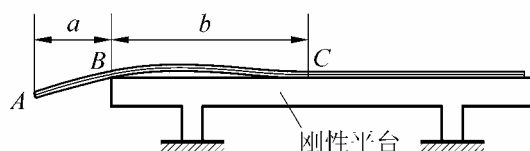


图 7-22

**7-24** 图示匀质梁，放置在水平的刚性平台上，若伸出台外部分  $AB$  的长度为  $a$ ，试计算台内梁上拱部分  $BC$  的长度  $b$ 。设弯曲刚度  $EI$  为常数，梁单位长度的重量为  $q$ 。



题 7-24 图

解：由于此梁在截面  $C$  以右的部分曲率处处为零，因此截面  $C$  处的曲率、转角及弯矩也都为零，即

$$\theta_C = 0, M_C = 0$$

假想此梁从截面  $C$  处切开，并取梁段  $AC$  为研究对象，可将其画成图 7-24 所示的外伸梁。

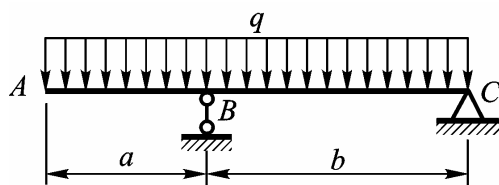


图 7-24

由以上分析可知，在均布载荷  $q$ （梁自重）作用下，有

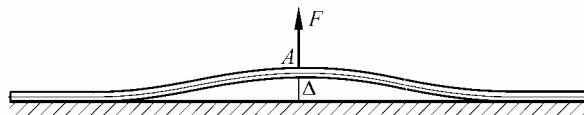
$$\theta_C = \frac{qb^3}{24EI} - \frac{qa^2 \cdot b}{2 \times 6EI} = 0$$

由此得到

$$b = \sqrt{2}a$$

顺便指出，这种解法是初等的，未考虑剪切变形的影响，致使分离面  $C$  处出现集中力形式的支承反力。

**7-25** 图示匀质梁，放置在水平刚性平台上。若在横截面  $A$  作用一铅垂向上的载荷  $F$ ，试建立该截面的挠度  $\Delta$  与载荷  $F$  的关系。设弯曲刚度  $EI$  为常数，梁单位长度的重量为  $q$ 。



题 7-25 图

解：可从该匀质梁的上拱部分提取力学模型，如图 7-25 所示。

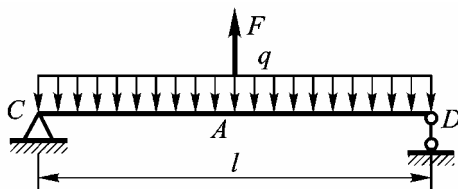


图 7-25

与上题相同的理由，这里有简支梁两端截面的转角和弯矩均为零。

由图可知，截面 A 的挠度为

$$\Delta = \frac{Fl^3}{48EI} - \frac{5ql^4}{384EI} \quad (a)$$

该梁左端截面的转角为

$$\theta_C = \frac{Fl^2}{16EI} - \frac{ql^3}{24EI} \quad (b)$$

由于

$$\theta_C = 0$$

故有

$$F = \frac{2}{3}ql$$

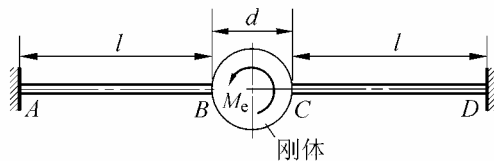
或写成

$$l = \frac{3F}{2q} \quad (c)$$

将式(c)代入式(a)，得到

$$\Delta = \frac{F}{48EI} \left( \frac{3F}{2q} \right)^3 - \frac{5q}{384EI} \left( \frac{3F}{2q} \right)^4 = \frac{9F^4}{2048EIq^3}$$

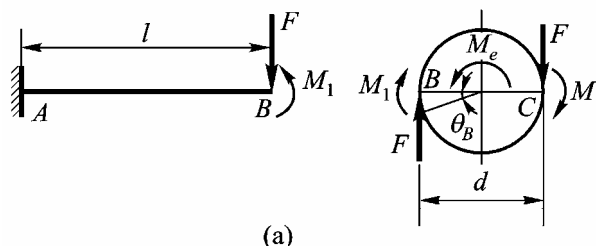
**7-26** 图示梁 AB 与 CD，B 端、C 端与刚性圆柱体相连，其上作用一矩为  $M_e$  的集中力偶。试画梁的剪力、弯矩图。设二梁各截面的弯曲刚度均为  $EI$ ，长度均为  $l$ ，圆柱体的直径为  $d$ ，且  $d = l/2$ 。



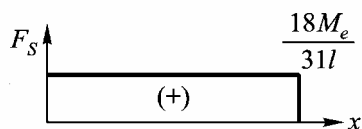
题 7-26 图

解：此为三度静不定结构，有反对称条件可以利用。

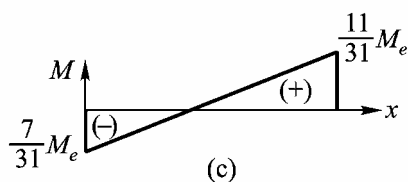
该结构相当系统的一部分示如图 7-26a。



(a)



(b)



(c)

图 7-26

静力学方面，由刚性圆柱体的力矩平衡可得

$$2M_1 + Fd = M_e \quad (a)$$

几何方面，考虑梁 AB，其截面 B 的挠度与转角之间应满足协调关系(请读者自己画出结构变形图以帮助理解)

$$w_B = \theta_B \left( \frac{d}{2} \right) \quad (b)$$

物理方面，有

$$w_B = \frac{Fl^3}{3EI} - \frac{M_1 l^2}{2EI}, \quad \theta_B = \frac{M_1 l}{EI} - \frac{Fl^2}{2EI} \quad (c)$$

将式(c)代入式(b)，得补充方程

$$\frac{Fl^3}{3EI} - \frac{M_1 l^2}{2EI} = \frac{d}{2} \left( \frac{M_1 l}{EI} - \frac{Fl^2}{2EI} \right)$$

注意到  $d = l/2$ ，由上式得

$$M_1 = \frac{11}{18} Fl \quad (d)$$

将式(d)与式(a)联解, 得

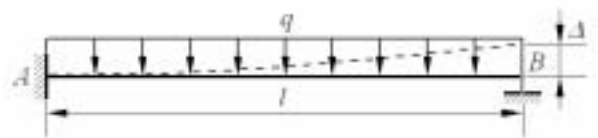
$$F = \frac{18M_e}{31l}, \quad M_1 = \frac{11}{31}M_e$$

求出  $F$  和  $M_1$  后就可以画梁  $AB$  的剪力、弯矩图了, 示如图 b 和 c。梁  $CD$  的剪力图与图 b 左右对称, 其弯矩图与图 c 反对称, 这里未画出。

**7-27** 图示静不定梁  $AB$ , 承受集度为  $q$  的均布载荷作用。已知抗弯截面系数为  $W$ , 许用应力为  $[\sigma]$ 。

(1) 试求载荷的许用值  $[q]$ ;

(2) 为提高梁的承载能力, 可将支座  $B$  提高少许, 试求提高量 的最佳值及载荷  $q$  的相应许用值  $[q']$ 。



题 7-27 图

解: (1) 求  $\Delta = 0$  时的  $[q]$

此为一度静不定问题。解除  $B$  端的多余约束, 代之以多余反力  $F_{By}$ , 将截面  $B$  的挠度

$$w_B = \frac{F_{By}l^3}{3EI} - \frac{ql^4}{8EI} \quad (a)$$

代入变形协调条件

$$w_B = 0$$

可得

$$F_{By} = \frac{3ql}{8} \quad (b)$$

自  $B$  端向左取坐标  $x$ , 弯矩方程为

$$M(x) = F_{By}x - \frac{q}{2}x^2 \quad (c)$$

由条件

$$\frac{dM(x)}{dx} = 0$$

得  $M(x)$  取得极值的位置为

$$x_0 = \frac{F_{By}}{q} \quad (d)$$

将式(d)代入式(c)，得极值弯矩为

$$M(x_0) = \frac{F_{By}^2}{2q} = \frac{9ql^2}{128} \approx 0.0703ql^2$$

该梁固定端 A 截面的弯矩为

$$M(l) = F_{By}l - \frac{q}{2}l^2 = -\frac{ql^2}{8}$$

二者比较（请读者自己画出  $M$  图以帮助理解），知危险截面在 A 端，其最大弯矩（绝对值）为

$$|M|_{\max} = |M(l)| = \frac{ql^2}{8}$$

由弯曲正应力强度条件

$$\sigma_{\max} = \frac{|M|_{\max}}{W_z} = \frac{ql^2}{8W_z} \leq [\sigma]$$

得

$$[q] = \frac{8W_z[\sigma]}{l^2} \quad (e)$$

(2) 求  $\Delta$  的最佳值及相应的  $[q']$

$\Delta$  不为零时，变形协调条件成为

$$w_B = \Delta$$

将式(a)代入后，得

$$F_{By} = \frac{3EI\Delta}{l^3} + \frac{3ql}{8} \quad (b)'$$

式(c)与(d)在此仍然有效。正的极值弯矩和固定端负弯矩依次为

$$M(x_0) = \frac{F_{By}^2}{2q}, \quad M(l) = F_{By}l - \frac{1}{2}ql^2$$

依据等强度观点，当  $M(x_0)$  与  $M(l)$  的绝对值相等时，对梁的强度最有利，即

$$\frac{F_{By}^2}{2q} = \frac{1}{2}ql^2 - F_{By}l$$

或写成

$$F_{By}^2 + 2qlF_{By} - q^2l^2 = 0$$

解此方程，舍去增根后，得

$$F_{By} = (\sqrt{2} - 1)ql \quad (f)$$

将式(f)代入式(a)，得到最佳提高量，其值为

$$\Delta = w_B = \frac{(8\sqrt{2} - 11)ql^4}{24EI} \quad (g)$$

有此  $\Delta$  后，梁内的最大弯矩为

$$M_{\max} = M(x_0) = \left(\frac{3}{2} - \sqrt{2}\right)ql^2$$

由弯曲正应力强度条件

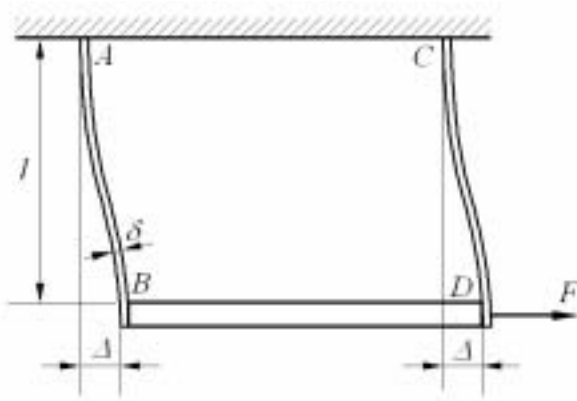
$$\sigma_{\max} = \frac{M_{\max}}{W_z} \leq [\sigma]$$

得载荷  $q$  的许用值为

$$[q'] = \frac{W_z[\sigma]}{\left(\frac{3}{2} - \sqrt{2}\right)l^2} = 11.66 \frac{W_z[\sigma]}{l^2} \quad (h)$$

比较式(h)与式(e)，支座  $B$  提高式(g)所示的  $\Delta$  后，梁的承载能力可提高 45.7%。

**7-28** 图示结构， $AB$  与  $DC$  为铜片，其厚度  $\delta$ 、宽度  $b$ 、长度  $l$  及弹性模量  $E$  均为已知， $BD$  杆的刚度很大，可视为刚体。试建立水平位移 与载荷  $F$  间的关系。轴力对铜片变形的影响忽略不计。



题 7-28 图

解：此为三度静不定结构。

由于  $BD$  杆可视为刚体，且  $AB$  与  $CD$  二铜片具有相同的材料性质、几何尺寸和约束条件，如题图所示，其变形具有反对称性。与此种变形图对应的受力图也是反对称的，示如图 7-28。



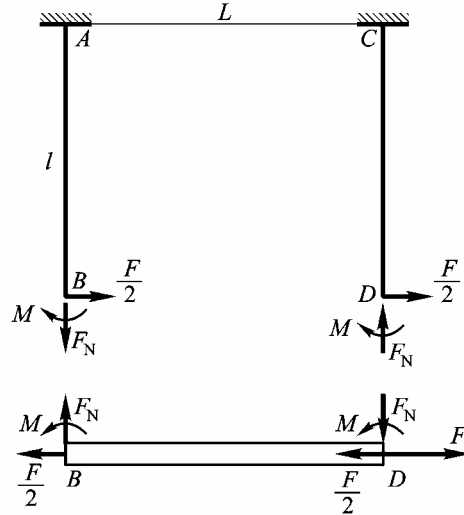


图 7-28

由  $BD$  杆的力矩平衡条件可得 (设  $BD$  杆长为  $L$ )

$$F_N L = 2M$$

不计轴力对铜片变形的影响, 以铜片  $AB$  为例, 其变形协调条件为

$$\theta_B = 0, \Delta_B = \Delta$$

将物理关系引入, 得

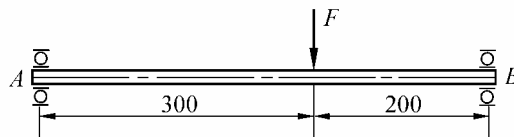
$$\begin{aligned} \frac{Fl^2}{2 \times 2EI} - \frac{Ml}{EI} &= 0 \\ \frac{Fl^3}{2 \times 3EI} - \frac{Ml^2}{2EI} &= \Delta \end{aligned}$$

由此得到水平位移  $\Delta$  与载荷  $F$  间的关系为

$$\Delta = \frac{Fl^3}{24EI} = \frac{Fl^3}{2Eb\delta^3}$$

## 7-29

图示圆截面轴, 两端用轴承支持。承受载荷  $F = 10\text{kN}$  作用。若轴承处的许用转角  $[\theta] = 0.05 \text{ rad}$ , 材料的弹性模量  $E = 200\text{GPa}$ , 试根据刚度要求确定轴径  $d$ 。



题 7-29 图

解: 由题图可知, 最大转角必在  $B$  端 (因为  $F$  距此端较近), 其值为 (可查教材的附录  $E$ )

$$\theta_{\max} = \theta_B = \frac{Fa(l^2 - a^2)}{6EI}$$

依题设, 这里  $l = 500\text{mm}$ ,  $a = 300\text{mm}$ 。

由刚度要求

$$\theta_{\max} \leq [\theta]$$

可得

$$I = \frac{\pi d^4}{64} \geq \frac{Fa(l^2 - a^2)}{6lE[\theta]}$$

由此得到该轴的直径为

$$\begin{aligned} d &\geq \sqrt[4]{\frac{64Fa(l^2 - a^2)}{6\pi lE[\theta]}} = \sqrt[4]{\frac{64 \times 10 \times 10^3 \times 0.300 \times (0.500^2 - 0.300^2)}{6\pi \times 0.500 \times 200 \times 10^9 \times 0.05}} \text{ m} \\ &= 0.0239 \text{ m} = 23.9 \text{ mm} \end{aligned}$$